

## سنگنگاری و ژئوشیمی دلومیت‌های سازند شتری در برش کلمرد، ایران مرکزی

آزاده رحیمی<sup>۱</sup>، محمدحسین آزادی<sup>۲</sup>، سیدعلی آقابنایی<sup>۳</sup>، محمودرضا مجیدی‌فرد<sup>۴</sup> و امیرمحمد جمالی<sup>۵</sup>

<sup>۱</sup>دانشجوی دکترا، گروه زمین‌شناسی، دانشکده علوم پایه، واحد تهران شمال، دانشگاه آزاد اسلامی، تهران، ایران

<sup>۲</sup>استاد، گروه زمین‌شناسی، دانشکده علوم زمین، دانشگاه شهید بهشتی، تهران، ایران

<sup>۳</sup>دانشیار، گروه زمین‌شناسی، دانشکده علوم پایه، واحد تهران شمال، دانشگاه آزاد اسلامی، تهران، ایران

<sup>۴</sup>استادیار، پژوهشکده علوم زمین، سازمان زمین‌شناسی و اکتشافات معدنی کشور، تهران، ایران

<sup>۵</sup>دکترا، مدیریت اکتشاف، اداره زمین‌شناسی سطح الارضی، شرکت ملی نفت، تهران، ایران

تاریخ پذیرش: ۱۳۹۴/۱۰/۱۶

تاریخ دریافت: ۱۳۹۵/۰۶/۱۶

### چکیده

توالی‌های کربناته سازند شتری به سن تریاس میانی با سترای ۳۰۸ متر در ناحیه کلمرد شهرستان طبس در حوضه ایران مرکزی نهشته شده است. در این ناحیه مرز پایینی سازند شتری به طور تدریجی و مسیب روی سازند سرخ شیل و مرز بالای آن توسط گسل قطع شده است و به طور عده شامل دلومیت با سترای کل ۲۵۰ متر به صورت متوسط تا مترا لایه همراه با میان‌لایه‌های نازک آهکی و ماسه‌سنگی است. سازند شتری به طور چهار گروه شامل دلومیت‌های ریز تا درشت بلور است. بر پایه شواهد سنگنگاری (اندازه دانه و فابریک) و ژئوشیمی (تعزیزی‌های عنصری Ca, Mg, Na, Sr, Fe, Mn) ۵ نوع مختلف دلومیت در سازند شتری تشخیص داده شده است. دلیل گوناگونی دلومیت‌ها، تأثیر فرایندهای دیاپزونی اولیه و تاخیری است که بسب تغییر ترکیب سیال‌های دلومیت‌ساز و در نتیجه تشکیل انواع دلومیت‌ها شده است. مطالعات ژئوشیمی‌ای شنان من دهد که دلومیت‌ها در سازند شتری بیشتر در شرایط احیا و تحت تأثیر دیاپزون مانوریکی تشکیل شده‌اند. مکاتیسم دلومیت‌شدن برای دلومیت نوع اول مدل سیخا، دلومیت‌های نوع دوم و سوم مدل پنهان مخلوط و برای دلومیت‌های نوع چهارم و پنجم مدل تندیفی در نظر گرفته شده است.

**کلیدواژه‌های:** سنگنگاری، ژئوشیمی، دلومیتی شدن، سازند شتری، ایران مرکزی.

\*نویسنده مسئول: آزاده رحیمی

E-mail: rahimiazadeh\_19@yahoo.com

### ۱- پیش‌فوستار

سازند شتری به سن تریاس میانی (آنینین لادین)، یک توالی کربناته مترا لایه و جوان‌ترین سازند گروه طبس در حوضه ایران مرکزی است. دلومیتی شدن یک فرایند اصلی دگرسانی در بیشتر سنگ‌های آهکی است. دلومیت در اشکال و انواع مختلف آن اصلی‌ترین جزو سنگی تشکیل‌دهنده سازند شتری به شمار می‌رود. دلومیت‌ها به طور کلی به دو صورت اولیه و ثانویه تشکیل می‌شوند که نوع ثانویه آن یا بی‌فالله پس از تکثیری یا مدتی پس از رسوب گذاری تشکیل می‌شود. دلومیت اولیه به طور مستقیم از آب دریا رسوب می‌کند. در این پژوهش، برای توصیف بافتی دلومیتی سازند شتری، تکییک انواع آنها و تعیین روند دیاپزون در آنها از تلقی مطالعات سنگنگاری و روش‌های ژئوشیمی‌ای، مانند عناصر اصلی و فرعی استفاده شده است. این مطالعات در پایان به تعیین منشأ دلومیت‌ها کمک می‌کند (Sibley and Gregg, 1987; Lee and Friedman, 1987; Amthor and Friedman, 1992).

(Mazzullo, 1992 and 2000; Ye and Mazzullo, 1993; Adabi, 2009)

### ۲- روش مطالعه

برای انجام مطالعات سنگنگاری و تعیین رخساره‌های برش کلمرد ۱۴۰ مقطع نازک مورده مطالعه میکرو‌سکریبی فرار گرفت. همه مقاطع نازک به روش Dickson (1965) توسط محلول آلیارین سرخ (ARS) برای تشخیص کانی‌های کلیست از دلومیت رنگ آمیزی شد. در نام‌گذاری سنگ‌های کربناته از رده‌بندی (1962) و Folk (1959) استفاده شد. نام‌گذاری دلومیت‌ها بر پایه تلقیقی از رده‌بندی بافتی Sibley and Gregg (1987) و Mazzullo (1992) صورت گرفت. برای اندازه بلورهای دلومیت از مقیاس ارائه شده توسط Folk (1965 and 1974) و Adabi (2009) استفاده شد. گوناگونی مختلف دلومیت‌ها بازتابی از زمان تشکیل، منشأ یا ترتیب سنگ‌آهک اولیه است. همچنین برای انجام مطالعات ژئوشیمی‌ای نمونه از سنگ‌های دلومیتی برای آزمایش‌های عنصری انتخاب شد (رحیمی، ۱۳۹۵).

نمونه‌ها تا حد امکان از زمینه میکرایتی و دور از رگلهای، دگرسانی‌ها و آلوکوم‌ها انتخاب و توسط دستگاه نمونه کوب و منه دندان پرشه‌کی پودر شد. نمونه‌های پودر

### ۳- سنگنگاری دلومیت‌ها

دلومیت در اشکال و انواع مختلف یکی از مهم‌ترین بخش‌های تشکیل‌دهنده سازند شتری به شمار می‌رود. دلومیت‌های سازند شتری بر پایه فابریک و با توجه به توزیع اندازه بلورها (یونی‌مدال یا پلی‌مدال) و شکل مرز بلورها (مسطح یا غیرمسطح) به

دارند. به باور Sibley (1980) این دولومیت‌ها زمانی تشکیل می‌شوند که محلول‌های دولومیتی کشند در ابتدا نسبت به کلسیت، نزدیک به اشباع باشند؛ در حالی که با پیشرفت واکنش ترکیب شیمیایی محلول‌های اشاره شده تغییر می‌کنند و نسبت به کلسیت به حالت تحت اشباع در می‌آیند و در نتیجه حاشیه شفاف بدون انکلوزیون را ایجاد می‌کنند.

(Vein dolomite) ، ۱۴۵، ۳ - ۲۵

دولومیت رگهای از بلورهای درشت تشکیل شده است که اندازه آنها میان ۲۰۰ تا ۱۱۰۰ میکرون (میانگین ۶۰۰ میکرون) تغییر می کند. این نوع دولومیتها دارای بلورهای بی شکل (Anhedral) و در اندازه های مختلف (Poly modal) و مرزهای بلوری غیر مسطح (Non planar) هستند. بلورها در دولومیت رگهای با دیواره شکاف، مرز مشخص و آشکاری دارند و در بسیاری موارد خاموشی موجی مشابه با دولومیت زین اسپی (Saddle dolomite) نشان می دهند که این امر یانگر تشکیل آنها در دمای بالاتر از ۱۰۰ درجه (Radke and Mathis, 1980) است. در برخی موارد دولومیتهای پر کننده، رگهای آهن دار هستند (شکل ۵). دولومیتهای رگهای معمولاً دولومیکرایتها (دولومیتهای اولیه)، دولومیکرو اسپارایتها (دولومیتهای دیاپنزی اولیه) و دولوسپارایتها (دولومیتهای دیاپنزی تأخیری) را قطع می کنند و از این رو به عنوان آخرین محصول دولومیتی شدن به شمار می آیند.

#### ۵- دلومهت‌های زین اسپی (Saddle dolomite)

دولومیت زین اسپی، ییشور در سنگهای کربناته میزان سولفات‌دار همراه با هیدروکربن و سولفیدهای اپی‌ژئنیک (MVT) یافت می‌شود (Warren, 2000). این دولومیت‌ها معمولاً در شرایط دفن ژرف یا گرمابی از شورابه‌های سپار شور در دمای بالا یا به صورت محصولی از احیای حرارتی شیمیایی سولفات‌ها حاصل می‌شوند (Flugel, 2004). بلورهای این نوع دولومیت، درشت هستند و قطعی تا حدود چند میلی‌متر دارند. این دولومیت‌ها دارای انکلوزیون کلیست و گاه آیدریت و سلروخ منحنی شکل و خاموشی موجی هستند (Radke and Mathis, 1980; Warren, 2000).

در سازند شتری، ییشور این دولومیت‌ها تخلخل‌های قالبی و حفره‌ای را اشغال کرده‌اند و بافت غیر مسطح (nonplanar) همراه با خاموشی موجی دارند. بافت اشاره شده نشان از تشکیل این دولومیت‌ها در دمای پیش از ۱۰۰ درجه (Radke and Mathis, 1980) یا پیش از ۶۰ درجه سانتی‌گراد (Gregg and Shelton, 1990) دارد. دولومیت زین اسپی درون شکستگی‌ها و حفرات یافت می‌شود که تأیید کننده منشأ تأخیری آن است (شکل ۵). سکانس پاراژنزی دولومیت‌های سازند شتری در شکل ۶ آورده شده است.

## ۶- دولوهمیقی شدن انتخابی

در مطالعات انجام شده روی مقاطع نازک سازنده شنی در برش کلمرد فرایند دولومیتی شدن به صورت بخشی و انتخابی در برخی از بخش‌ها به روشنی قابل تشخیص است. فرایند دولومیتی شدن در برخی مقاطع تنها روی ایترالکستها و ذرات اسکلتی (شکل‌های ۵ و H) و در برخی دیگر تنها روی زمینه میکرایتی صورت گرفته است. در موارد یاد شده دولومیتی شدن مرتب با فابریک سنگ است و از آن پیروی می‌کند. احتملاً دولومیتی شدن انتخابی در ارتباط با تراکت کانی شناسی اولیه آرگونیتی یا فابریک ریزدانه آلوکم‌ها است. آلوکم‌های آرگونیتی و میکرایتی برای دولومیتی شدن بسیار مستعد هستند (Rajmisi, 2009; Adabi, 2009; ۱۳۹۵). اگر دولومیتی شدن به طور بخشی یک توالی را دولومیتی کند و کربنات کلسیم باقیانده توسط محلال از بین نرود، تخلخل گسترش نمی‌باید (Murray, 1960; Anderson, 1985). به طور کلی اگر یک توالی گلی به صورت غیر انتخاب شده توسط فابریک دولومیتی شود، یک موزاییک دولومیتی با بلورهای در هم قفل شده تشکیل می‌شود و تخلخل در این وضعیت کاهش می‌باید و یا از بین می‌رود (Matthes and Mountjoy, 1980). همچنین دولومیتی شدن تدقیقی گستردگی‌پذیرها یا دیگر رخساره‌های متخلخل، بسب حفظ و گسترش تخلخل، تحت شرایط دفعی، می‌شود. دولومیتی شدن انتخابی، هم‌ا

پنج گروه مختلف تقسیم شده‌اند. اندازه بلورها به وسیله امیری‌های رشد و هسته‌سازی کشتل می‌شود، در حالی که شکل مرز بلورها تنها به وسیله رشد بلورها کشتل می‌شود (Planar) (Sibley and Gregg, 1987). به طور کلی در دمای بین سطوح بلوری صاف (Planar) و بلورهای شکل دار (Euhedral) تا نیمه شکل دار (Subhedral) رشد می‌کنند. در بالاتر از دمای بحرانی یعنی میان ۵۰ تا ۱۰۰ درجه (Critical Roughening Temperature) از دمای بحرانی غیر مسطح (Nonplanar) و بلورهای بی شکل (Anhedral) گسترش سطوح بلوری غیر مسطح (Nonplanar) و بلورهای بی شکل (Anhedral) گسترش می‌یابند (Gregg and Sibley, 1984; Gregg and Shelton, 1990). در این مطالعه Adabi (2009) اندازه بلورهای دولومیت از روی پیشنهادی قطر بلورها و بر پایه مقاله Tisserin, Sheld.

۵- انواع دولومیت‌ها

#### ۵-۱. دولومیت‌های خیلی ریز تا ویزبلور (Dolomitic dolomite)

این نوع دولومیت‌ها با مرزهای مسطح نیمه‌شکل دار (Planar-s) و در اندازه ۴ میکرون (تا میانگین ۱۰ میکرون) و به شکل موزاییک یک اندازه (Unimodal mosaics) یاافت می‌شوند. این نوع بافت معادل بافت زینتراتیک (Friedman 1965) <sup>(A)</sup> نان‌پالائز (Xenotopic- A) Mazzullo (1992) و زینتراتیک (Nonplanar-A) Gregg and Sibley (1984) است. دولومیت‌های اشاره شده پیشتر متراکم و بدون تخلخل و فسیل هستند (شکل ۵). دولومیکرایتها در محیط‌های بالای کشندی تا کشندی، در دمای پایین و در شرایط سطحی تشکیل می‌شوند و با توجه به قابریک و اندازه خیلی ریز بلور، حفظ بافت اولیه رسوبی و نسود فسیل، این محیط‌ها مشخص شده‌اند (Gregg and Sibley, 1984; Gregg and Shelton, 1990; Adabi, 2009). به باور (1985) عامل دولومیتی شدن احتسال‌آب دریا و یا محلول‌های میان‌ذرهای Land (Pore water) سرشار از میزیم (Adabi, 2009) است. گفتنی است که از دید رُوژشی‌بایی این دولومیت‌ها دارای استراتیسم و سدیم بالاتر و آهن و منگنز کمتر نسبت به دولومیت‌های ثانویه هستند (Adabi, 1996 and 2009).

#### ۲-۵. دلوهیت‌های دینزلولور (Dolomicrosparite)

بیشتر این دولومیت‌ها متراکم و با مرزهای مسطح نیمه‌شکل دار تا بی‌شکل (Planar-s crystal subhedral to anhedral) و به شکل موزاییک‌های همان‌دراز هستند که اندازه‌ای میان ۱۶ تا ۶۲ میکرون (میانگین ۳۶ میکرون) دارند. مرزهای مشترک میان بلوری این نوع دولومیت‌ها، مستقیم (Straight boundaries) است و در برخی از آنها سطوح بلوری به خوبی حفظ شده است (شکل ۵ ب). این نوع دولومیت معادل فایریک ایدیوتیپیک (Friedman, 1965) ایدیوتیپیک (Idiotopic-p) یا پورفیروتیپیک (Porphirotopic-p) (Gregg and Sibley, 1984) و دولومیت مسطح p-Planar- p است. در اثر رشد آرام بلورها در جریان پیوسته‌ای از سیال‌های Mazzullo (1992) دولومیت‌ساز در دمای پایین فایریک مسطح نیمه‌شکل دار (Planar-s) به وجود می‌آید (Sibley and Gregg, 1987). جانشینی دیاژنزی سنگ‌های آهکی بیشین و یا تملور دوباره دولومیت‌های اولیه، زیر دمای بحرانی (کمتر از ۶۰ درجه سانتی گراد) عامل تشکیل دولومیت‌های نوع دوم به شمار می‌آید (Mazzullo, 1992; Adabi, 2009).

### ۳-۵. دلیل های متوسط بلور (Dolosparite)

این نوع دولومیت‌ها متراکم و با مرزهای مسطح نیمه‌شکل دار (Planar-*s*) (Planar-*N*) و به صورت بلورهای مرزاگیکی هماندازه (Unimodal) هستند که اندازه‌ای میان ۶۲ تا ۲۵۰ میکرون (میانگین ۱۳۵ میکرون) دارند. فابریک دولومیت‌های یاد شده معادل فابریک هیدرولیک (Friedman 1965) ایدیوپاتیک (*Idiopatic-s*) (Gregg and Sibley 1984) و دولومیت‌های با بافت مسطح نیمه‌شکل دار (Planar-*s*) (Mazzullo et al. 1992) است به احتساب زیاد تبلور دواره دولومیت‌های نوع اول و دوم سبب تشکیل دولواسپارایت‌ها شدند. در بیشتر موارد دولواسپارایت‌ها سبب تخریب بافت رسوبی اولیه شده‌اند (شکل‌های ۵ و ۶). بر خلاف این دولومیت‌ها مسنته کدر (Cloudy core) و حاشه شفاف (Clear rim)

دولومیت‌هاست. رسم نودار  $\text{Sr}$  در برابر  $\text{Mg}$  در انواع مختلف دولومیت‌ها نشان از یک روند افزایشی دارد؛ به طوری که میزان  $\text{Sr}$  با افزایش  $\text{Mg}$  افزایش می‌باید (شکل ۹) که احتمالاً به دلیل غیراستوئی‌شیومتریک بودن (نامنظم بودن شبکه بلوری) دولومیت‌هاست. اصولاً میزان استرانسیم در دولومیت‌ها با افزایش حالت استوئی‌شیومتری کاهش می‌باید (Stoichiometry) (Vahenkamp and Swart, 1990) به گونه‌ای که دولومیت‌هاست شیومتری (دارای  $50$  مول درصد  $\text{MgCO}_3$ ) به ام  $50$  پی‌پی  $\text{MgCO}_3$  در حالی که دولومیت‌هاستی (دارای  $40$  مول درصد  $\text{MgCO}_3$ ) هستند مقدار آنها به  $253$  پی‌پی ام می‌رسد (آدامی، ۱۳۹۰). بالاتر بودن مقدار  $\text{Sr}$  در نودارهای دولومیت سازند شتری نسبت به میانگین مقدار این عنصر در دولومیت‌هاست شیومتریک بودن دولومیت‌هاست سازند (معادل  $50$  پی‌پی ام)، احتمالاً به دلیل غیراستوئی‌شیومتریک بودن دولومیت‌هاست سازند شتری یا جاشنی آهک‌های آرگونیتی است.

• سدیم: سدیم فراوان ترین کاتیون موجود در آب دریاست و به عنوان شاخصی برای پی‌پدند به درجه شوری سیال‌های دیرینه (Paleosalinity) استفاده می‌شود (Land and Hoops, 1973; Sass and Bein, 1988). تسرکز  $\text{Na}$  در پیشتر انواع مختلف دولومیت‌ها نزدیک به یکدیگر است. این مقدار پیش از میانگین دولومیت‌هاست که در محیط دریابی عادی شکل می‌گیرند و به طور تیک  $110$  تا  $160$  پی‌پی ام دارند (Veizer, 1983). رسم نودار  $\text{Na}$  در برابر  $\text{Mg}$  نشان می‌دهد که تسرکز  $\text{Na}$  با افزایش مقدار  $\text{Mg}$  افزایش می‌باید (شکل ۱۰). مقدار  $\text{Na}$  همانند در دولومیت‌هاست شیومتری بسیار پایین است و بنابراین مقدار به نسبت بالای سدیم در دولومیت‌ها نشان دهنده حالت غیراستوئی‌شیومتریک (Non-Stoichiometry) آنها (پی‌نظمه در شبکه دولومیت، یا به عبارتی نقص شبکه‌ای) و احتمالاً در ارتباط با شوری بالای سیال‌های دولومیت‌ساز است. سدیم در موارد بسیاری به عنوان شاخصی برای پی‌پدند به شوری قدیمه (Paleosalinity) به کار رفته است (Veizer, 1983).

• آهن و منگنز: آهن و منگنز برخلاف استرانسیم و سدیم در دولومیت‌هاست دیازنتری تا خیری نسبت به دولومیت‌هاست اولیه تقابل به افزایش نشان می‌دهند. این افزایش می‌تواند به دلایل زیر باشد:

آهن و منگنز در آب دریا تسرکز پایین ولی در سیال‌های دیازنتری تسرکز بالای دارند.

تسركز پیشتر  $\text{Fe}$  و  $\text{Mn}$  به شرایط احیایی حاکم بر محیط بستگی دارد؛ به طوری که مقدار  $\text{Fe}$  و  $\text{Mn}$  در دولومیت‌هاست اولیه نزدیک به سطح به دلیل شرایط اکسایشی، نسبت به دولومیت‌هاست تدبیری که در شرایط احیایی تشکیل می‌شوند، پایین تر است (Tucker and Wright, 1990).

تسركز  $\text{Mn}$  و  $\text{Fe}$  در دولومیت‌هاست سازند شتری به ترتیب از  $14/5$  تا  $500$  (میانگین  $149/4$  پی‌پی ام) و از  $400$  تا  $4700$  پی‌پی ام (میانگین  $1800$  پی‌پی ام) تغییر می‌کند. مقدار میانگین  $\text{Mn}$  و  $\text{Fe}$  در دولومیت‌هاست مورد مطالعه به مراتب بالاتر از آهک‌های است، زیرا  $\text{Mn}$  و  $\text{Fe}$  معمولاً جایگزین  $\text{Mg}$  می‌شوند و چون مقدار  $\text{Mg}$  در دولومیت‌ها بالاتر از آهک‌های است، بنابراین تسرکز این عنصر نیز در دولومیت بالاتر خواهد رفت. از آنجایی که ضریب توزیع  $\text{Mn}$  و  $\text{Fe}$  در کلیت و دولومیت بالاتر از واحد است (Pingitore, 1978; Veizer, 1983) تسرکز بالاتر این عنصر در دولومیت‌هاشی شری ممکن است نشان دهنده شرایط احیایی حاکم بر محیط باشد (Land, 1986). شرایط احیایی با افزایش ژرفای تدبیر افزایش می‌باید. دولومیت‌هاست دیازنتری تا خیری که در شرایط احیایی تشکیل شده‌اند (نوع‌های ۳ و ۴) مقدار  $\text{Mn}$  و  $\text{Fe}$  بالاتر نسبت به دولومیت‌هاست اولیه نزدیک سطح (نوع‌های ۱ و ۲) دارند. از آنجایی که تسرکز  $\text{Mn}$  و  $\text{Fe}$  در سیال‌های دریابی کم است، افزایش مقدار  $\text{Mn}$  و  $\text{Fe}$  از دولومیت‌هاست ریزبور (با کثیرین دگرسانی) به دولومیت‌هاشی درشت‌بلور

با اتحال  $\text{CaCO}_3$  می‌تواند به طور قابل توجهی سبب تشکیل خواص مخزنی خوبی شود (Anderson, 1985).

## ۶- مطالعات زئوپیمایی

یکی از مراحل بیاندهای در مطالعه زئوپیمایی، تعیین مقدار عناصر اصلی و فرعی آنها است با بررسی این مطالعات می‌توان اطلاعات پر ارزشی در مورد مشاً دولومیت (اویله یا تانویه)، زمان تشکیل، ترکیب سیال دولومیت‌ساز، مدل دولومیتی شدن و روند دیازنتری به دست آورد. بسیاری از پژوهشگران (Friedman and Sanders, 1967; Zengar et al., 1980; Morrow, 1982; Land, 1983; Machel and Mountjoy, 1986; Hardie, 1987; Sibley and Gregg, 1987; Shukla and Baker, 1988; Mazzullo, 1992, Adabi, 2009) در زمینه ژنر دولومیت و سازوکارهای دولومیتی شدن پژوهش کردند.

### ۶-۱. عناصر اصلی و فرعی در دولومیت‌ها

شناسایی فرایندهای دیازنتری در دولومیت‌ها به ترکیب سیال دولومیت‌ساز (Veizer, 1983; Humphrey, 1988) بستگی دارد (Dolomitizing fluids) (Rao, 1996). با شناسایی ترکیب عناصر کلسیم، متزیم، سدیم، استرانسیم، منگنز و آهن در دولومیت‌ها می‌توان ترکیب سیال‌های دولومیت‌ساز را مشخص کرد. تسرکز عناصر اصلی و فرعی در انواع دولومیت‌هاست سازند شتری در ناحیه مورد مطالعه در جدول ۱ آورده شده است.

### - عناصر اصلی

• کلسیم و متزیم: میزان  $\text{Ca}$  در دولومیت‌هاست سازند شتری از  $20/34$  تا  $21/10$  درصد (میانگین  $25/35$  تغییر می‌کند. میزان  $\text{Mg}$  در این دولومیت‌هاست  $12/75$  تا  $18/75$  درصد (میانگین  $9/12$  در تغییر است. کاهش مقدار  $\text{Mg}$  در دولومیت‌هاست ریز بلوز نوع ۱ نسبت به دیگر دولومیت‌ها به دلیل بالاتر بودن مقدار  $\text{Ca}$  در این نوع دولومیت‌هاست. همان‌گونه که در شکل ۷ دیده می‌شود، مقدار  $\text{Mg}$  در دولومیت‌هاست سازند شتری با نسبت  $\text{Mg/Ca}$  از  $0.96$  (R=۰.۹۶) از آنجایی که نسبت  $\text{Mg/Ca}$  در دولومیت‌هاست خالص حدود  $65$  است، کاهش مقدار  $\text{Mg}$  از  $12/75$  درصد به  $5/18$  علت دگرسانی این دولومیت‌هاست. پیشترین میزان  $\text{Mg}$  در دولومیت‌هاست خالص  $13$  درصد است. تغییرات کلسیم در برابر متزیم رابطه معکوس دارد که این به دلیل جایگزینی بخشی از کلسیم توسط متزیم در کربنات‌های دولومیتی است (شکل ۸).

### - عناصر فرعی

• استرانسیم: از میان عناصر فرعی موجود در دولومیت‌ها، عنصر  $\text{Sr}$  همواره پیشترین توجه را به خود جلب کرده است (Veizer, 1983). اصولاً میزان تسرکز  $\text{Sr}$  در دولومیت‌ها به عوامل مختلفی وابسته است. از آنجایی که عنصر  $\text{Sr}$  به طور معمول جایگزین  $\text{Ca}$  می‌شود و مقدار  $\text{Ca}$  در دولومیت نصف مقدار موجود در کلیت است، بنابراین مقدار تسرکز  $\text{Sr}$  در دولومیت‌هاست کمتر از سنگ آهک است (Rao, 1996). Land (1985) بر این باور است که دولومیت‌هاست اولیه (Primary dolomite) مقدار  $\text{Sr}$  بالاتری در مقایسه با دولومیت‌هاست دیازنتری (Dolomite) دارند که این به علت تغییر در فابریک آنهاست. اصولاً تسرکز  $\text{Sr}$  با افزایش اندازه بلوزها کاهش می‌باید و به این دلیل دولومیت‌هاست دیازنتری که درشت‌بلور تر از دولومیت‌هاست اولیه هستند، مقدار کمتری  $\text{Sr}$  دارند (Shukla and Baker, 1988). از سوی دیگر مقدار  $\text{Sr}$  کانی اولیه‌ای که دولومیت جایگزین آن شده است، نیز بسیار اهمیت دارد (Veizer, 1978). به طور کلی دولومیت‌هاستی که جایگزین آرگونیت می‌شوند، نسبت به آنها که جانشین کلیت می‌شوند مقدار  $\text{Sr}$  بالاتری دارند. Humphrey (1988) بر این باور است که مقدار  $\text{Sr}$  در دولومیت‌هاست شتری از دولومیتی شدن آهک‌های آرگونیتی در محیط‌های به نسبت بسته دیازنتری دارد. تغییرات  $\text{Sr}$  در دولومیت‌هاست سازند شتری میان  $51$  تا  $85/4$  پی‌پی ام (میانگین  $28/9$  پی‌پی ام) تغییر می‌کند (شکل ۹). مقدار  $\text{Sr}$  در دولومیت‌هاست بسیار پایین نر از آهک‌های است. این به دلیل ضریب توزیع کرچکت  $\text{Sr}$  در دولومیت است

گرم غنی از منزیم حوضه‌ای و یا گرمابی هستند، تشکیل و سپس در ظرف توسط دولومیت‌های مراحل بایانی پوشیده می‌شوند و ازین می‌روند (Warren, 2000) و با توجه به دولومیت‌های زین اسی و خفره‌برک و آهن دار بودن دولومیت‌ها در سازند شتری باید شرایط تدفین حاکم شده باشد (رجیمی، ۱۳۹۵؛ Rahimi et al., 2016). (Rahimi and Adabi, 2010 and 2016). (شکل ۱۳).

#### ۸- منشاً منزیم

به نظر می‌رسد که برای دولومیتی شدن اولیه و یا همزمان با رسوب گذاری، تنها منشاً منزیم، آب دریا است (Land, 1985). این منشاً تنها برای دولومیت‌های بلور نوع ۱ در نظر گرفته می‌شوند که در نزدیک سطح و تحت شرایط دمای پایین در یک محیط کشنده و احتساساً در اثر پیچاز آب دریا به این پهنه تشکیل شده‌اند. اما منزیم مورد نیاز برای تشکیل دولومیت‌های نوع ۲، ۴ و ۵ از منابع مختلف قابل تأمین است که از آن میان می‌توان به آب‌های دریایی محبوس شده و آب‌های شور حوضه‌ای اشاره کرد (آدابی، ۱۳۹۰).

#### ۹- نتیجه‌گیری

سازند شتری یک توالی کرتسانه به سن تریاس میانی است که به طور چیره از دولومیت‌های متسط تا متراکم با میان‌لايه‌های نازک آهک و ماسه‌ستگ تشکیل شده است. مرز زیرین سازند شتری در برش موردن مطالعه به طور تدریجی و همثیب روی سازند سرخ شیل فرار دارد و مرز بالای آن توسط گسل قطع شده است.

مطالعات ستگنگاری نمونه‌های سازند شتری یانگر این است که دولومیت یکی از مهم‌ترین اجزای تشکیل‌دهنده این سازند است. در ستگه‌های این منطقه دست کم ۵ نوع دولومیت (دولومیکرایت، دولومیکرواسپارایت، دولومیت، دولومیت رگاهی و دولومیت زین اسی) شناسایی شده است.

دولومیت نوع یک به عنوان دولومیت تتریاً همزمان با رسوب گذاری در نظر گرفته شده است. دولومیت نوع دوم و سوم از تبلور دوباره دولومیت‌های پیشین به وجود می‌آیند. دولومیت زین اسی و دولومیت نوع چهارم بر کنته‌های ترکها و شکستگی‌ها هستند و به عنوان محصولات پایانی تدفین در نظر گرفته می‌شوند.

مطالعات ژئوشیمیایی دولومیت‌های سازند شتری نشان از آن دارد که مقادیر Sr و Na در دولومیت‌های ریزبلور (نوع‌های ۱ و ۲) به مراتب پیشتر از دولومیت‌های درشت‌بلور (نوع‌های ۳ و ۴) هستند؛ در حالی که مقدار Fe و Mn در دولومیت‌های درشت‌بلور پیشتر از دولومیت‌های ریزبلور است.

مدل دولومیتی شدن برای دولومیکرایت‌ها از نوع سبخایی و برای دولومیکرواسپارایت‌ها و دولومیکرواسپارایت‌ها از نوع پهنه محلول و برای دولومیت‌های زین اسی و رگاهی از نوع تدفینی در نظر گرفته شده است.

با توجه به اینکه دولومیکرایت‌ها در نزدیکی سطح تشکیل شده‌اند، به نظر می‌رسد Mg مورد پیاز آنها از آب دریا تأمین شده است؛ اما منشاً Mg در دیگر انواع دولومیت‌ها می‌تواند از آب‌های دریایی محبوس شده و آب‌های شور حوضه‌ای نتیجه شده باشد.

#### سپاسکزاری

این پژوهش در بخش عملیات صحرایی بدون همکاری دوستان عزیز سرکار خانم مهندس عزیزی، آقایان دکتر هرفانی، مهندس ترکمن و مهندس شه بخش امکان‌بذری نبود، که شایسته قدردانی و تشکر می‌باشد.

(با دگرسانی بیشتر) احتمالاً در نتیجه واکنش آنها با سیال‌های غیر دریایی بوده است (Adabi, 1996). روند تغییرات Mn و Fe در برابر Mg در شکل ۱۱ رسم شده است. بنابراین بالا بودن مقادیر Mn و Fe در نمونه‌های دولومیتی سازند شتری به واسطه شرایط ایجادی در هنگام تشکیل این دولومیت‌هاست. در ضمن، میانگین مقادیر Mn و Fe در نمونه‌های دولومیتی به دلیل تأثیر پیشتر دیاٹزی، بالاتر است. رسم مقادیر Mn در برابر Fe یک روند خطی با شبیه مثبت را نشان می‌دهد (شکل ۱۲). این روند افزایشی به دلیل دگرسانی دولومیت‌ها توسط سیال‌های دیاٹزی (غیر دریایی) است.

#### ۷- مکافیس‌های دولومیتی شدن

سه مکافیس دولومیتی شدن در این مطالعه شامل مدل سبخایی، مدل زون محلول (آب شور و شیرین دریا) و مدل تدفینی است (آدابی، ۱۳۹۰).

##### ۷-۱. مدل سبخا (Sabkha Model)

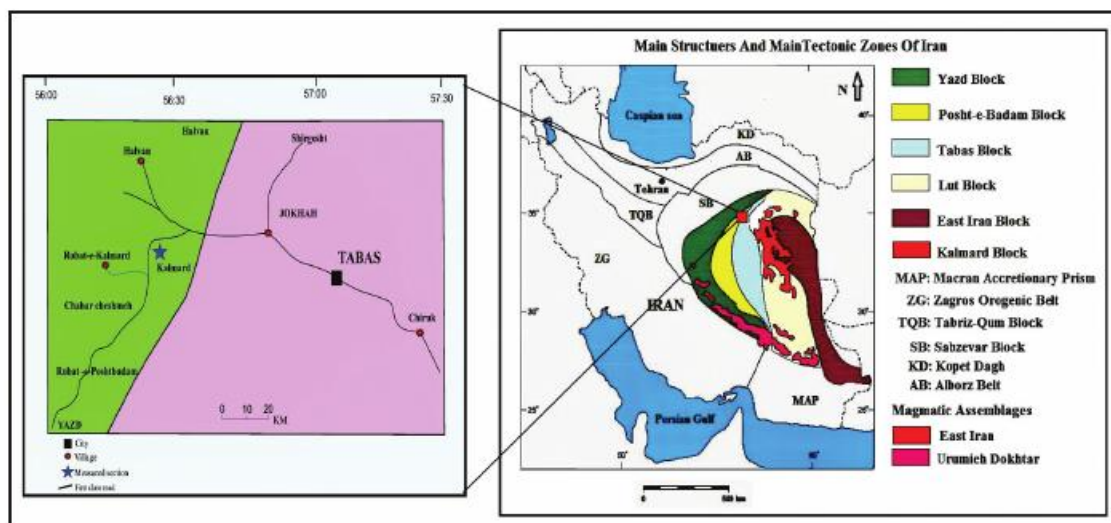
با توجه به دلایل زیر تشکیل دولومیت‌های نوع اول را می‌توان به مدل سبخا نسبت داد. با تکیه بر شواهد ستگنگاری مانند بافت ریزبلور و فابریک فنترال، دولومیت‌های نوع اول به عنوان دولومیت‌های تتریاً همزمان با رسوب گذاری با دولومیت‌های دیاٹزی اویله (Very early diagenesis) در نظر گرفته می‌شوند. این نوع دولومیت‌ها همراه با توالی‌های هستند که از دید رخساره‌های ستگی و بیزگ‌های مدل سبخا را نشان می‌دهند. از جمله این شواهد می‌توان به همراهی با رخساره‌های منطقه بالای کشنده (سوپراتایپال) و داشتن لامیتاپر، ساخت‌های چون فنترال و بلورهای تبخری اشاره کرد (Warren, 2000 and 2006). افزون بر این ریزبلور بودن دولومیت‌ها یانگر زیاد بودن مکان‌های مناسب برای هسته‌سازی بلورهای دولومیت در رسوبات Sibley and Gregg, 1987 (میکرایتی) سبخایی است (رجیمی، ۱۳۹۵). (A). (Rahimi and Adabi, 2010 and 2016; Rahimi et al., 2016).

##### ۷-۲. مدل محلول آب شیرین و شور دریا (Mixing zone Model)

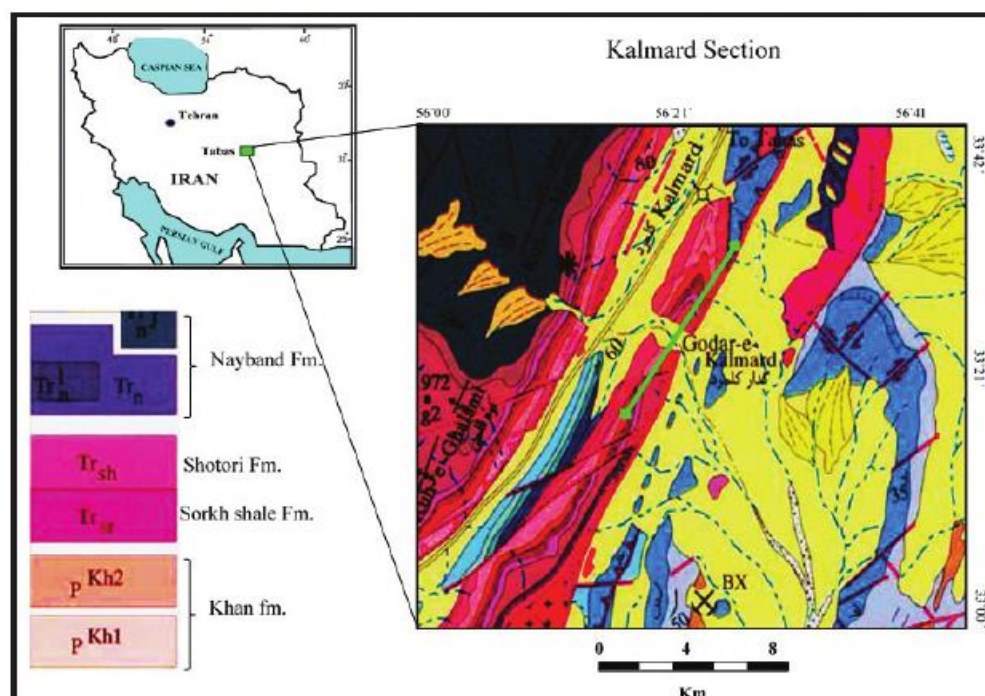
این مدل مربوط به دولومیت‌های نوع دوم و سوم است. در این مدل، سیال‌های دولومیت‌ساز از آبیخنگی آب دریا با آب‌های جوی زیرسطحی نتیجه شده‌اند (Hanshaw et al., 1971; Badiozamani, 1973). آب‌های زیرزمینی جوی اشاع از  $\text{CaCO}_3$  با آب دریا محلول می‌شوند و محلول حاصل از دید  $\text{CaCO}_3$  خیلی اشاع و از دید دولومیت حالت فوق اشاع دارد (آدابی، ۱۳۹۰). در تاخیص دولومیت‌های پهنه محلول با توجه به بافت‌ها و ساخت‌های ستگ شناسی می‌توان به تخلخل قالی و سیمان کلیستی هم بعد آب شیرین اشاره کرد. مدل دولومیتی شدن دولومیکرواسپارایت‌ها و دولومیت‌های دانه شکری به این مدل نسبت داده می‌شود (Rahimi and Adabi, 2010 and 2016; Rahimi et al., 2016). (B).

##### ۷-۳. مدل تدفینی (Burial Model)

دولومیت‌های نوع چهارم و پنجم مطابق مدل تدفینی تشکیل می‌شوند. سه منشاً اصلی برای منزیم مورد نیاز در فرایند دولومیتی شدن تدفینی وجود دارد که شامل تخلخل‌های شور (Bittern salts) (پلی‌هالیت کارنالیت)، منزیم منشاً گرفته از تبدیل کانی‌های رسی و نیز آب‌های میان‌منفذی (Interstitial waters) (شامل آب‌های دریایی و شورابهای تبخری محبوس شده) (Land, 1985) است. به نظر می‌رسد که از یان عامل‌های بالا آب‌های دریایی محبوس شده (Connate marine waters) مؤثرترین عامل برای تأمین منزیم مورد نیاز فرایند دولومیتی شدن در زمان تدفین متوسط و ژرف باشد (Moore, 1989). دولومیت‌های تدفینی به صورت جانشینی در زیر منطقه فریاتیک فعال در فواصل نفوذپذیر رسوبات که تحت نفوذ آب‌های



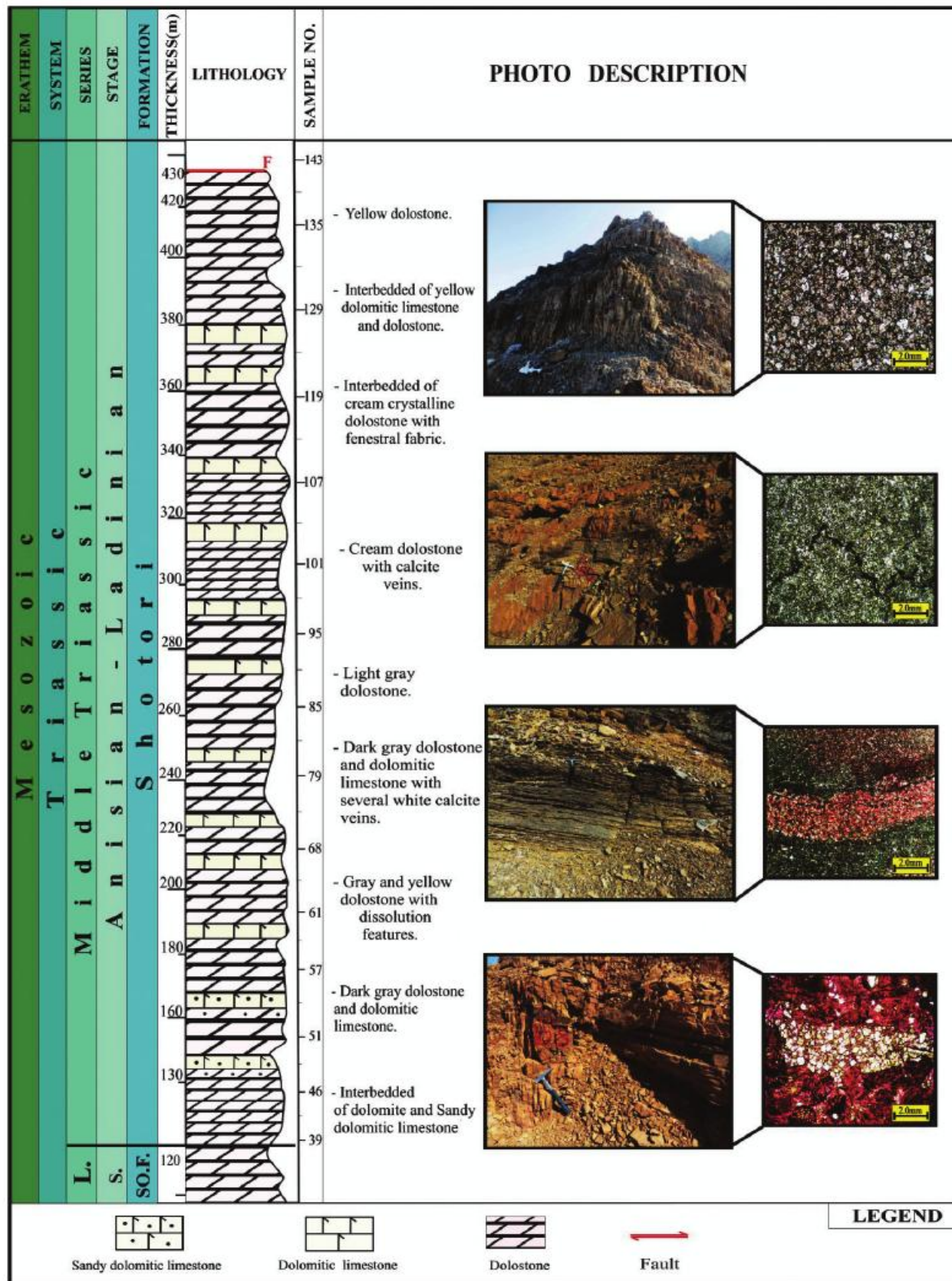
شکل ۱- پهنه های رسوی - ساختاری اصلی ایران و جایگاه حوضه ایران مرکزی (برگرفته با تغییراتی از Stocklin, 1968) و موقعیت جغرافیایی منطقه مورد مطالعه.



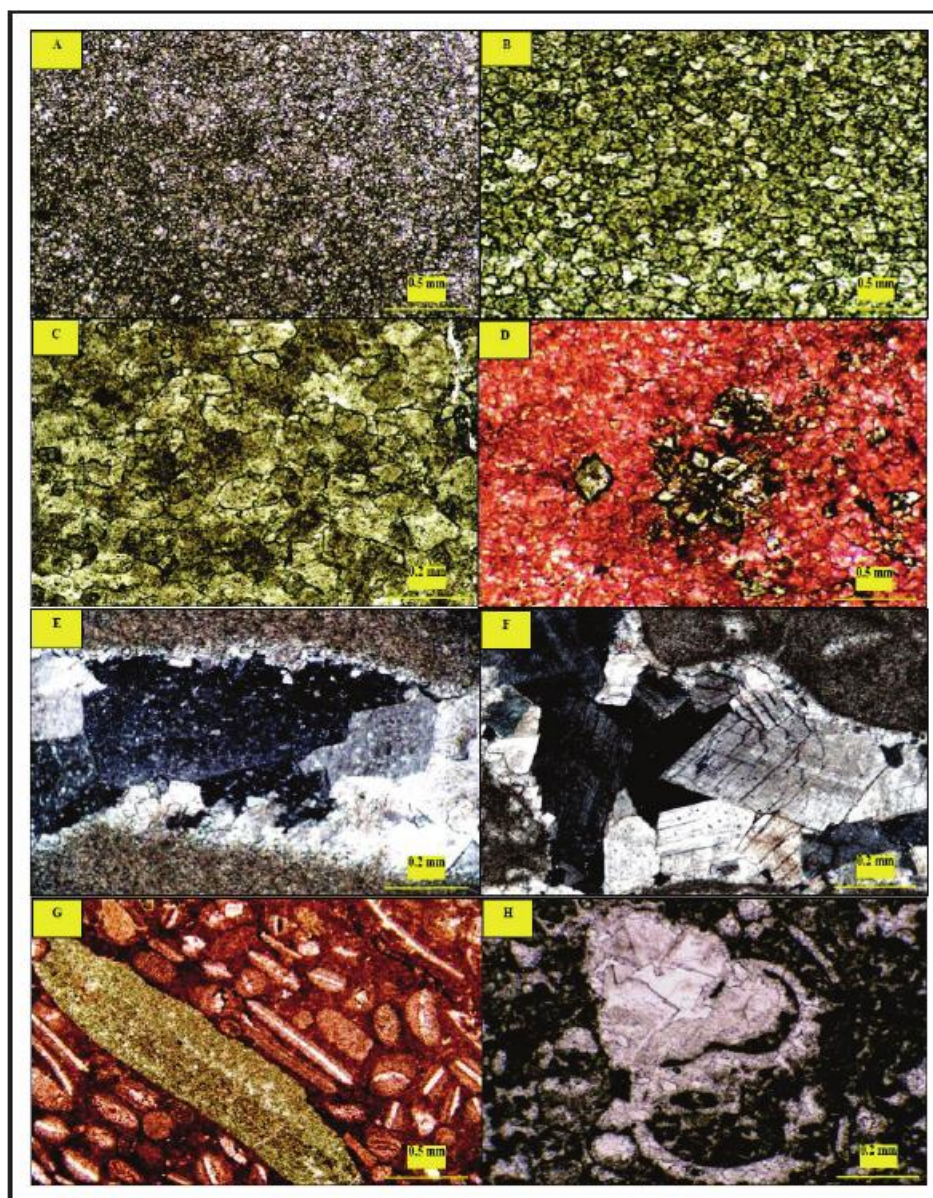
شکل ۲- موقعیت چینه شناسی و مسیر پیمایش برش کلمرد (فلش سیز رنگ) در نقشه زمین شناسی ۱:۱۰۰۰۰۰ رباط خان (ازدری، ۱۳۷۸).



شکل ۳- توالی نهضه های تربیس زیرین و میانی، شامل سازند سرخ شیل (TSh F.)، سازند شتری (TSo F.) و مسیر پیمایش (فلش سیز رنگ) در چینه نگاری سنگی برش کلمرد (نگاه به سوی شمال).



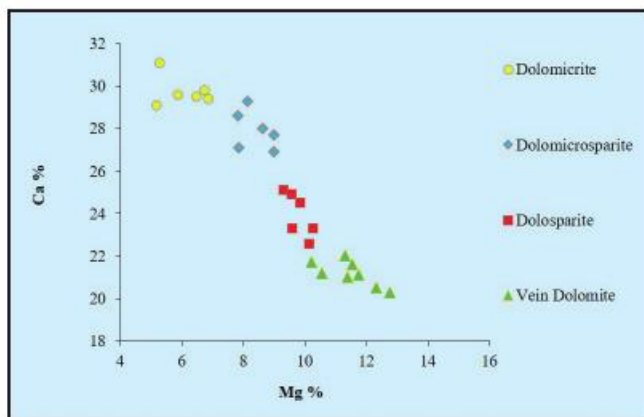
شکل ۴- سیستم جتینگاری سنگ، منطقه مورد مطالعه.



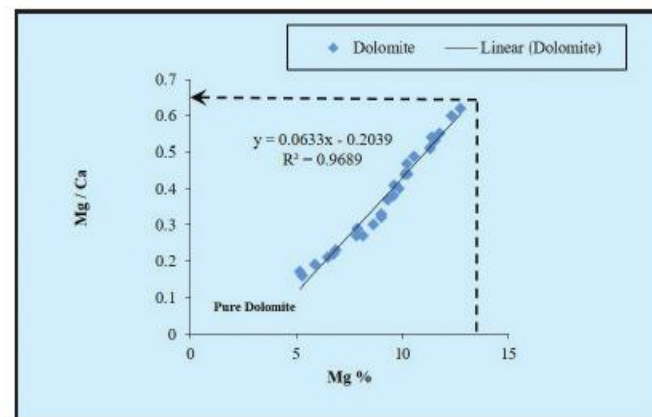
شکل ۵- (A) دولومیکرایت، دولومیت نوع اول، بسیار ریز بلور، بی شکل، بافت گزنو تایپیک (نور معمولی)؛ (B) دولومیکرو اسپارایت، دولومیت نوع دوم، ریز تا متوسط بلور، بی شکل تا نیمه شکل دار، بافت هیپیدیوتایپیک (نور معمولی)؛ (C) دولومیکرایت، دولومیت نوع سوم، متوسط بلور، نیمه شکل دار تا شکل دار، بافت هیپیدیوتایپیک تا ایدیوتایپیک. به حاشیه شفاف و مرکز ابری شکل توجه شود (نور معمولی)؛ (D) دولومیت دانه شکری، رومبوندی، شکل دار، بافت ایدیوتایپیک در زمینه کلیتی رنگ گرفته توسط محلول آلیزارین سرخ (نور معمولی)؛ (E) دولومیت حفره پر کن، دولومیت نوع چهارم، درشت بلور، بی شکل (نور پلاریزان)؛ (F) دولومیت سدلی یا زین اسپی، دولومیت نوع پنجم، درشت بلور، خاموش موجی (نور پلاریزان)؛ (G) دولومیت شدن انتخابی (Fabric selective)، دولومیت شدن کامل ایترائلست (نور معمولی)؛ (H) دولومیت شدن کامل گاستروپد در اثر انحلال کانی شناسی اولیه آراگونیت و جانشین آن با دولومیت (نور معمولی).



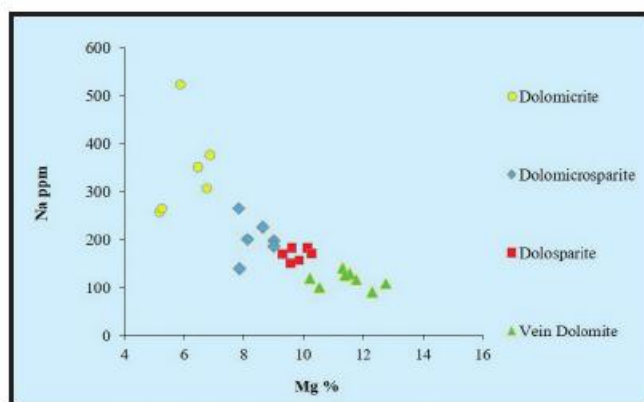
شکل ۶- سکانس پاراژنزی انواع دولومیت‌ها در سازند شتری، خطوط پیوسته نشان دهنده زمان نسبی فرایند دولومیتی شدن و خطوط منقطع نشان دهنده زمان احتمالی رخداد است.



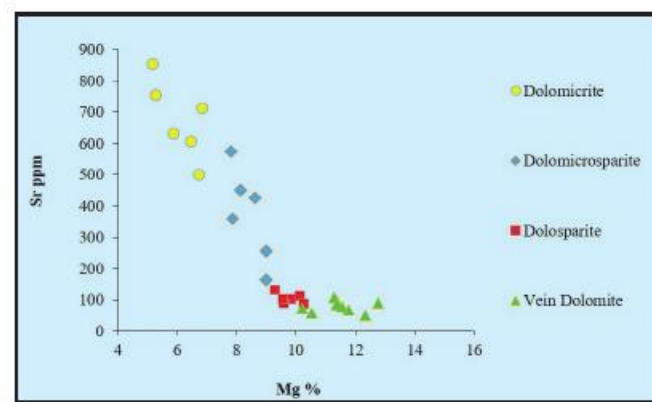
شکل-۸- روند تغییرات نسبت  $\text{Mg}/\text{Ca}$  در نمونه‌های دلومیتی سازند شتری؛ همان‌گونه که دیده شد کاهش مقدار  $\text{Mg}$  در دلومیت‌های ریزبلور نوع ۱ نسبت به دیگر دلومیت‌ها به دلیل بالاتر بودن مقدار  $\text{Ca}$  در این نوع دلومیت است.



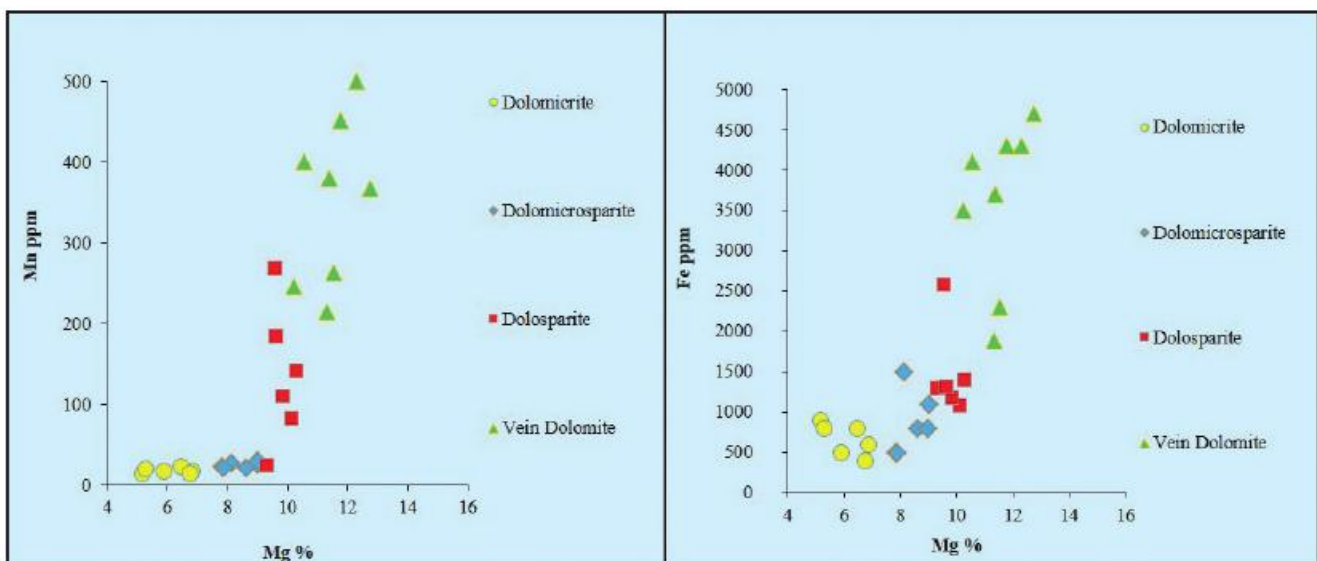
شکل-۷- روند تغییرات نسبت  $\text{Mg}/\text{Ca}$  در نمونه‌های دلومیتی سازند شتری.



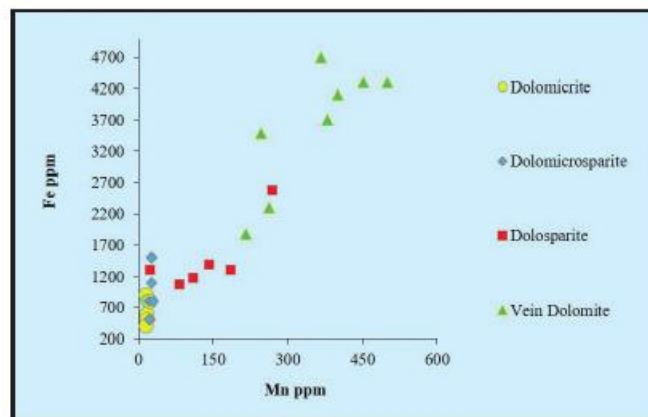
شکل-۹- روند تغییرات  $\text{Na}$  در برابر  $\text{Mg}$  در انواع دلومیت‌های سازند شتری. توجه کنید که در نمودار روند افزایشی  $\text{Na}$  در برابر  $\text{Mg}$  در حالت غیراستوئی شیوه‌تریک شیوه‌تریک بودن دلومیت‌ها در سازند شتری است. بالا بودن میزان  $\text{Na}$  در دلومیکرات‌ها احتمالاً به دلیل شوری محلول‌های دلومیتی کند و تأثیر کمتر دیاژنر غیر دریابی روی نمونه‌های اشاره شده است.



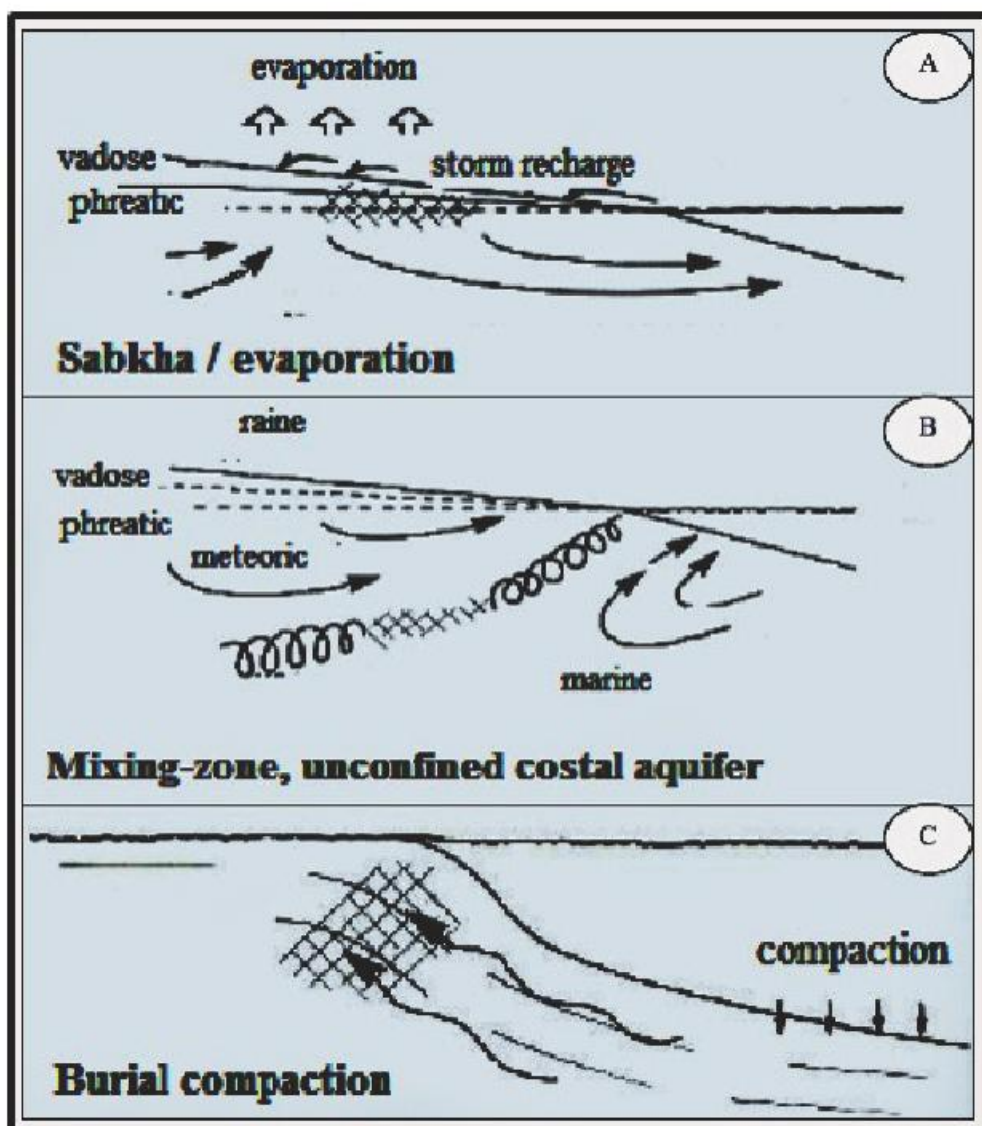
شکل-۱۰- تغییرات  $\text{Sr}$  در برابر  $\text{Mg}$  در نمونه‌های دلومیتی سازند شتری. مقداری بالای  $\text{Sr}$  در نمونه‌های دلومیتی اشاره شده احتمالاً به واسطه ترکیب کانی شناسی اولیه آرگونیتی آهک‌هایی است که دلومیت شده‌اند. همان‌گونه که دیده شد میزان  $\text{Sr}$  در نمونه‌های دلومیکرات به واسطه تأثیر کمتر دیاژنر غیر دریابی روی آنها، بالاتر است.



شکل-۱۱- روند تغییرات  $\text{Fe}$  و  $\text{Mn}$  در برابر  $\text{Mg}$  در انواع دلومیت‌های سازند شتری. مقدادیر  $\text{Fe}$  و  $\text{Mn}$  با افزایش میزان  $\text{Mg}$  در دلومیت‌ها افزایش می‌یابد که به دلیل جانشینی ترجیحی یون‌های  $\text{Fe}$  و  $\text{Mn}$  به جای  $\text{Mg}$  در شبکه بلور دلومیت است. با توجه به تأثیر بیشتر دیاژنر روی دلوسپارایت‌ها، میانگین مقدادیر  $\text{Fe}$  و  $\text{Mn}$  در این نمونه‌ها بالاتر از دلومیکرات هاست.



شکل ۱۲- روند تغییرات Mn در برابر Fe در انواع دلو میت های سازند شتری. همان گونه که دیده شد ارتباط این دو عنصر به صورت روند خطی با شیب مثبت (روند افزایشی) نشان داده می شود، یعنی با افزایش فرایند گرسانی تو سط سیال های دیاژنزی، مقادیر Fe و Mn افزایش می یابد.



شکل ۱۳- مدل های دلو میتی شدن در سازند شتری (برگرفته از Tucker and Wright, 1990; Warren, 2000).

جدول ۱- تغییرات عناصر اصلی و فرعی در نمونه‌های دولومیتی سازند شتری در ناحیه مورده مطالعه.

Dolomitic Samples of Kalmard Section								
Number	Formation	Sample N.	Ca (%)	Mg (%)	Sr (ppm)	Na (ppm)	Mn (ppm)	Fe (ppm)
1	Shotori	K5	29.1	5.18	854	257	14.5	900
2	Shotori	K8	31.1	5.27	753	265	19.7	800
3	Shotori	K12	29.4	6.85	712	376	16.4	600
4	Shotori	K15	29.5	6.47	606	350	23.3	800
5	Shotori	K19	29.6	5.88	631	523	16.9	500
6	Shotori	K24	29.8	6.74	500	307	14.7	400
7	Shotori	K28	26.9	9	254	197	25.7	1100
8	Shotori	K29	28.6	7.82	574	265	23.4	500
9	Shotori	K33	29.3	8.13	450	200	26.4	1500
10	Shotori	K37	28	8.62	425	227	20.7	800
11	Shotori	K42	27.1	7.86	360	140	21	500
12	Shotori	K46	27.7	8.99	164	186	29.2	800
13	Shotori	K50	25.1	9.3	131	170	23.7	1300
14	Shotori	K65	22.6	10.12	111	182	82.8	1080
15	Shotori	K76	24.5	9.84	103	156	110	1180
16	Shotori	K95	23.3	10.27	86.4	171	142	1400
17	Shotori	K101	23.3	9.6	88.7	182	185	1310
18	Shotori	K103	24.9	9.56	103	150	268	2580
19	Shotori	K104	22	11.3	106	140	215	1880
20	Shotori	K109	21.1	11.75	67.7	117	452	4300
21	Shotori	K111	21.7	10.21	73.2	120	246	3490
22	Shotori	K116	21.6	11.53	77.8	129	262	2300
23	Shotori	K121	20.5	12.31	51	90	500	4300
24	Shotori	K131	21	11.38	85.3	127	380	3700
25	Shotori	K139	21.2	10.54	57.8	100	400	4100
26	Shotori	K140	20.3	12.75	90	109	367	4700

### کتابخانه

آدابی، م. ح.، ۱۳۹۰- ژئوشیمی رسوی، انتشارات آرین زمین، چاپ دوم، ۵۰۴ ص.

اژدری، ع.، ۱۳۷۸- نقشه زمین‌شناسی رباط خان، مقیاس ۱/۱۰۰۰۰۰، سازمان زمین‌شناسی و اکتشافات معدنی کشور، تهران، ایران.

رحمی، ا.، ۱۳۹۵- محیط‌های رسوی، چینه‌نگاری سکانسی، دیاژنر و ژئوشیمی سنگ‌های تربیس زیرین - میانی در بلور کلمرد (ایران مرکزی) رساله دکتری تخصصی، دانشگاه آزاد واحد تهران شمال، ۳۰۳ ص.

### References

- Adabi, M. H., 1996- Sedimentology and geochemistry of carbonates from Iran and Tasmania, Ph.D. thesis (Unpublished). University of Tasmania Australia, 470 p.
- Adabi, M. H., 2009- Multistage dolomitization of upper Jurassic Muzdurian Formation, Kopet-Dagh basin, N.E. Iran: Crab. Eva., v.24, p. 16-32.
- Amthor, J. E. and Friedman, G. M., 1992- Early to late diagenetic Dolomitization of platform carbonates: Lower Ordovician Ellen burger Group, Permian Basin, West Texas. Journal of Sedimentary Research., v. 62, p. 131-144.
- Anderson, J. H., 1985- Depositional facies and carbonate diagenesis of the downslope reefs in the Nisku Formation (U. Devonian), central Alberta, Canada. Dissertation. The University of Texas/Austin, Texas, 393 p.
- Badiozamani, K., 1973- The Dorag dolomitization model application to the middle Ordovician of Wisconsin. Journal of Sedimentary Research., v. 423, p. 965-984.

- Dickson, J. A. D., 1965- A modified staining technique for carbonate in the thin section. *Nature*, v. 205, p. 587.
- Dunham, R. J., 1962- Classification of carbonate rocks according to depositional texture. *American Association of Petroleum Geologists*, p. 108-121.
- Flügel, E., 2004- Microfacies analysis of limestone: Analysis, Interpretation and Application. Springer Verlag, Berlin, 976 p.
- Folk, R. L., 1974- The natural history of crystalline calcium carbonate: effect of magnesium content and salinity. *Jour. Sed. Petrol.*, v. 44/1, p. 40-53.
- Folk, R. L., 1959- Practical petrographic classification of limestones. *American Association of Petroleum Geologists Bulletin*, v. 3/1, p. 1-38, 41.
- Folk, R. L., 1965- Some aspects of recrystallization in ancient limestones. In: Pray, L. C. and Murray, R. C. (eds.): Dolomitization and limestone diagenesis. Society of Economic Paleontologist and Mineralogists Spec. Publ., v. 13, p. 14-48.
- Friedman, G. M. and Sanders, J. E., 1967- Origin and Occurrence of Dolostones. In: Chilingar, G.V., Bissell, H.J. and Fairbridge, R.W., Eds., *Carbonate Rocks, Origin, Occurrence, and Classification*, p. 267-348.
- Friedman, G. M., 1965- Terminology of crystallization textures and fabrics in sedimentary rocks. *Journal of Sedimentary Research*, v. 35, p. 643-655.
- Gregg, J. M. and Shelton, K. L., 1990- Dolomitization and Dolomite Neomorphism in the Back Reef Facies of the Bonneterre and Davis Formations (Cambrian), Southeastern Missouri. *Journal of Sedimentary Research*, v. 60, p. 549-562.
- Gregg, J. M. and Sibley, D. F., 1984- Epigenetic Dolomitization and the Origin of Xenotopic Dolomite Texture. *Journal of Sedimentary Research*, v. 54, p. 908-931.
- Hanshaw, B. B., Back, W. E. and Deike, R. G., 1971- A geochemical hypothesis for dolomitization by groundwater. *Economic Geology*, v. 66, p. 710-724.
- Hardie, L., 1987- Dolomitization: A Critical View of Some Current Views. *Journal of Sedimentary Research*, v. 57, p. 166-183.
- Humphrey, J. D., 1988- Late Pleistocene mixing zone dolomitization, south-eastern Barbados, West Indies. *Sedimentology*, v. 35, p. 327-348.
- Land, L. S., 1980- The Isotopic and Trace Element Geochemistry of Dolomite: The State of the Art. In: Zenger, D.H., Dunham, J.B. and Ethington, R.L., Eds., *Concepts and Models of Dolomitization*, v 28, Society for Sedimentary Geology, p. 87-110.
- Land, L. S., 1983- Dolomitization. AAPG Education Course Note Series 24, p. 1-20.
- Land, L. S., 1985- The origin of massive dolomite: summary and suggestion. *Journal of Geological Education*, v. 33, p. 112-125.
- Land, L. S., 1986- Environments of limestone and dolomite diagenesis: some geochemical considerations. *Colorado School Mines Quart*. v. 81, p. 26-41.
- Land, L.S. and Hoops, G. H., 1973- Sodium in carbonate sediments and rocks: a possible index to the salinity of diagenetic solutions. *Journal of Sedimentary Research*, v. 43, p. 614-617.
- Lee, Y. I. and Friedman, G. M., 1987- Deep-burial dolomitization in the Lower Ordovician Ellen Burger Group carbonates in west Texas and south-eastern New Mexico. *Journal of Sedimentary Research*, v. 57, p. 544-557.
- Machel, H. G. and Mountjoy, E. W., 1986- Chemistry and environments of dolomitization - a reappraisal, *Earth Science Reviews*, v. 23, p. 175- 222.
- Mattes, B. W. and Mountjoy, E. W., 1980- Burial dolomitization of the Upper Devonian Miette Buildup, Jasper National Park, Alberta. In: Zenger, D.H., Dunham, J.B. and Ethington, R.L. (eds.): *Concepts and models of dolomitization*. Society for Sedimentary Geology., v. 28, p. 259-297.
- Mazzullo, S. J., 1992- Geochemical and neomorphic alteration of dolomite: a review. *Carbonates and Evaporites*, v. 7, p. 21-37.
- Mazzullo, S. J., 2000- Organogenic Dolomitization in Peritidal to Deep-Sea Sediments. *Journal of Sedimentary Research*, v. 70, p. 10-23.
- Moore, C. H., 1989- Carbonate Diagenesis and Porosity. In: Developments in Sedimentology, v. 46, 338 p.
- Morrow, D. W., 1982- Diagenesis II. Dolomite-part II: dolomitization models and ancient dolostones. *Geoscience Canada*, v. 9, p. 95-107.
- Murray, R. C., 1960- Origin of porosity in carbonate rocks. *Journal of Sedimentary Research*, v. 30, p. 59-84.
- Pingitore, N. E., 1978- The Behaviour of Zn<sup>2+</sup> and Mn<sup>2+</sup> during Carbonate Diagenesis: Theory and Applications. *Journal of Sedimentary Research*, v. 48, p. 799-814.
- Radke, B. M. and Mathis, R. L., 1980- On the formation and occurrence of saddle dolomite. *Journal of Sedimentary Research*, v. 50/4, p. 1149-1168.
- Rahimi, A. and Adabi, M. H., 2010- The effect of original carbonate mineralogy on diagenetic and porosity evolution in the Kangan, South Pars Field, Persian Gulf. The First international Applied Geological Congress, Mashhad, Iran. v. 2, p. 2095- 2003.
- Rahimi, A. and Adabi, M. H., 2016- The effect of original carbonate mineralogy on diagenetic and porosity evolution in the Early Triassic, Central Iran. The Second international Applied Geological Congress, Tehran, Iran, v. 1, p. 300-307.
- Rahimi, A., Adabi, M. H., Aghanabati, A., Majidifard, M. R. and Jamali, A. M., 2016- Dolomitization mechanism based on petrography and geochemistry in the Shotori Formation (Middle Triassic), Central Iran. *Open Journal of Geology*, v. 6, p 1149-1168.
- Rao, C. P., 1996- Modern Carbonates, Tropical, Temperate, Poolar: Introduction to Sedimentology and Geochemistry. 206 p.
- Sass, E. and Bein, A., 1988- Dolomites and salinity: a comparative geochemical study. In: Shukla, V., and Baker, P.A. (eds.): *Sedimentology and geochemistry of dolostones*. Society for Sedimentary Geology., v. 43, p. 223-233.

- Shukla, V. and Baker, P. A. eds., 1988- Sedimentology and geochemistry of dolostones. Society for Sedimentary Geology., v. 43, p. 266.
- Sibley, D. F., 1980- Climatic control of dolomitization, Seroe Domi Formation (Pliocene), Bonaire, N.A. In: Zenger, D.H., Dunham, J.B. and Ethington, R.L. (eds.): Concepts and models of dolomitization. Soc. Econ. Paleont. Miner., Spec. Publ., v. 28, p. 247-258
- Sibley, D. F. and Gregg, J. M., 1987- Classification of dolomite rock textures. Journal of Sedimentary Research., v. 57/5, p. 967-975.
- Stocklin, J., 1968- Structural history and tectonics of Iran: a review. The American Association of Petroleum Geologists, Bulletin, Tulsa., v. 52, p. 1229-1258.
- Tucker, M. E. and Wright, V. P., 1990- Carbonate Sedimentology. 482 p., Oxford (Blackwell).
- Vahrenkamp, V. C. and Swart, P. K., 1990- New distribution coefficient for the incorporation of strontium into dolomite and its implications for the formation of ancient dolomites. Geology., v. 18, p. 387-391.
- Veizer, J., 1978- Secular Variations in the Composition of Sedimentary Carbonate Rocks, II. Fe, Mn, Ca, Mg, Sr and Minor Constituents. Precambrian Research., v. 6, p. 381-413.
- Veizer, J., 1983- Trace elements and stable isotopes in sedimentary carbonates. In: Reeder, R.J. (ed.): Carbonates: Mineralogy and Chemistry. Reviews in Mineralogy., v. 11, p. 265-299.
- Warren, J. K., 2000- Dolomite: occurrence, evolution and economically important association. Earth Sci Reviews., v. 52, p. 1-81.
- Warren, J. K., 2006- Evaporites: Sediments, Resources and Hydrocarbons. Springer, Berlin, 1036 p.
- Ye, Q. and Mazzullo, S. J., 1993- Dolomitization of Lower Permian platform facies, Wichita Formation, North Platform, Middle Basin, Texas: Carbonates and Evaporites., v. 8, p. 55-70.
- Zenger, D. H., Dunham, J. B., and Ethington R. L., 1980- Concepts and Models of Dolomitization. Vol. 28, Society for Sedimentary Geology, Special Publications, 320 p.

## Petrography and geochemistry of the Shotori dolomites in Kalmard section, Central Iran

A. Rahimi<sup>1\*</sup>, M. H. Adabi<sup>2</sup>, A. Nabati<sup>3</sup>, M. R. Majidifard<sup>4</sup> and A. M. Jamali<sup>5</sup>

<sup>1</sup>Ph.D. Student, Department of Geology, Faculty of Basic Sciences, North Tehran Branch, Islamic Azad University, Tehran, Iran

<sup>2</sup>Professor, Department of Geology, Faculty of Earth Sciences, Shahid Beheshti University, Tehran, Iran

<sup>3</sup>Associate Professor, Department of Geology, Faculty of Basic Sciences, North Tehran Branch, Islamic Azad University, Tehran, Iran

<sup>4</sup>Assistant Professor, Research Institute for Earth Sciences, Geological Survey of Iran, Tehran, Iran

<sup>5</sup>Ph.D., Section Directorate, Surface Geology Exploration, National Iranian Oil Company, Tehran, Iran

Received: 2015 January 20

Received: 2016 September 06

### Abstract

Carbonate sequences of the Shotori Formations (Middle Triassic) with a thickness of 308 m, were deposited in the Kalmard region of the Tabas city in Central Iran basin. The lower contact of the formation gradually and conformably overlies the Sorkhshale Formation and upper contact is faulted. The Shotori Formation is mainly composed of thick to medium bedded fine-coarsely crystalline dolomites with a thickness of 250 m with interbeds of thin bedded limestone and sandstone. The Shotori Formation is mainly composed of fine-coarsely crystalline dolomite. Based on petrographic (size and fabric), and elemental studies (Ca, Mg, Na, Sr, Fe, Mn), five dolomite types were recognized. Variation in dolomite types is mainly related to early to late diagenetic processes, changing the composition of dolomitizing fluids. Geochemical studies also indicate that medium to coarse grain dolomites formed in meteoric diagenesis under reducing conditions. Mechanism of dolomitization for dolomite type 1 is sabkha model, for dolomite types 2 and 3 is mixing zone and is burial model for dolomite types 4 and 5.

**Keywords:** Petrography, Geochemistry, Dolomitization, Shotori Formation, Central Iran.

For Persian Version see pages 61 to 72

\*Corresponding author: A. Rahimi; E-mail: rahimiazadeh\_19@yahoo.com